

Journal of Organometallic Chemistry, 378 (1989) 211–225
 Elsevier Sequoia S.A., Lausanne – Printed in The Netherlands
 JOM 20174

Reaktionen von Propiolaldehydacetalen mit Dicarbonylcyclopentadienylmangan-Fragmenten

Christiane Löwe,

Fakultät für Chemie, Universität Konstanz, Postfach 5560, 7750 Konstanz (B.R.D.)

Hans-Ulrich Hund und Heinz Berke *

Anorganisch-Chemisches Institut der Universität Zürich, Winterthurerstr. 190, 8057 Zürich (CH)

(Eingegangen den 16. Juni 1989)

Abstract

Reactions of a dicarbonylcyclopentadienylthermanganese complex (**1**) with propionic aldehyde acetals (**2**) yield the mononuclear dicarbonylcyclopentadienyl- η^2 -(propionic aldehyde acetal)manganese compounds $\text{CpMn}(\text{CO})_2\text{HC}\equiv\text{CCH}(\text{OR})_2$ ($\text{R} = \text{Me}$, **3a**; $\text{R} = \text{Et}$, **3b**; $(\text{OR})_2 = \text{O}(\text{CH}_2)_3\text{O}$, **3c**). In addition dinuclear bis(dicarbonylcyclopentadienyl)dialkoxyethylvinylidene complexes $[\text{CpMn}(\text{CO})_2]_2=\text{C}=\text{C}(\text{H})\text{CH}(\text{OR})_2$ ($\text{R} = \text{Me}$, **5a**; $\text{R} = \text{Et}$, **5b** and $(\text{OR})_2 = \text{O}(\text{CH}_2)_3\text{O}$, **5c**) and a bis(dicarbonylcyclopentadienylmanganese)-2-carbaldehydevinylidene species (**5d**) have been isolated. These dinuclear compounds were also obtained via dicarbonylcyclopentadienyl(dialkoxyethylvinylidene)manganese derivatives $\text{CpMn}(\text{CO})_2=\text{C}=\text{C}(\text{H})\text{CH}(\text{OR})_2$ ($\text{R} = \text{Me}$, **4a**; $\text{R} = \text{Et}$, **4b**; $(\text{OR})_2 = \text{O}(\text{CH}_2)_3\text{O}$, **4c**), which were synthesized by an independent route. **3c**, **5c** and **5d** were characterized by X-ray analyses diffraction studies.

Zusammenfassung

Reaktionen des Dicarbonylcyclopentadienylthermangan-Komplexes (**1**) mit Propiolaldehyddialkoxyacetalen (**2**) führen zu den mononuklearen Dicarbonylcyclopentadienyl- η^2 -(propargylaldehyddialkoxyacetal)mangan-Verbindungen $\text{CpMn}(\text{CO})_2\text{HC}\equiv\text{CCH}(\text{OR})_2$ ($\text{R} = \text{Me}$, **3a**; $\text{R} = \text{Et}$, **3b**; $(\text{OR})_2 = \text{O}(\text{CH}_2)_3\text{O}$, **3c**). Als weitere Reaktionsprodukte können die dinuklearen Bis(dicarbonylcyclopentadienyl)dialkoxyethylvinylidene-Komplexe $[\text{CpMn}(\text{CO})_2]_2=\text{C}=\text{C}(\text{H})\text{CH}(\text{OR})_2$ ($\text{R} = \text{Me}$, **5a**; $\text{R} = \text{Et}$, **5b** und $(\text{OR})_2 = \text{O}(\text{CH}_2)_2$, **5c**) sowie eine Bis(dicarbonylcyclopentadienylmangan)-2-carbaldehydevinylidene-Spezies (**5d**) isoliert werden. Diese zweikernigen Verbindungen werden über die unabhängig synthetisierbaren Dicarbonylcyclopentadienyl(dialkoxyethylvinylidene)-mangan-Derivate $\text{CpMn}(\text{CO})_2=\text{C}=\text{C}$ -

(H)CH(OR)₂ ($\mathbf{R} = \text{Me}$, **4a**; $\mathbf{R} = \text{Et}$, **4b**; (OR)₂=O(CH₂)₃O, **4c**) gebildet. **3c**, **5c** und **5d** wurden durch Röntgenstrukturanalysen charakterisiert.

Einleitung

Im Zusammenhang mit unseren Untersuchungen zu C₃-Synthesebausteinen an metallorganischen Fragmenten haben wir die Komplexchemie von Propiolaldehyd-Derivaten näher erforscht. Das Ligandverhalten insbesondere die strukturellen Gesichtspunkte von Acetylenen an CpMn(CO)₂-Fragmenten ist durch eine Reihe von Untersuchungen [1] gut charakterisiert, während die reaktiven Aspekte bisher weniger betrachtet wurden [2,3].

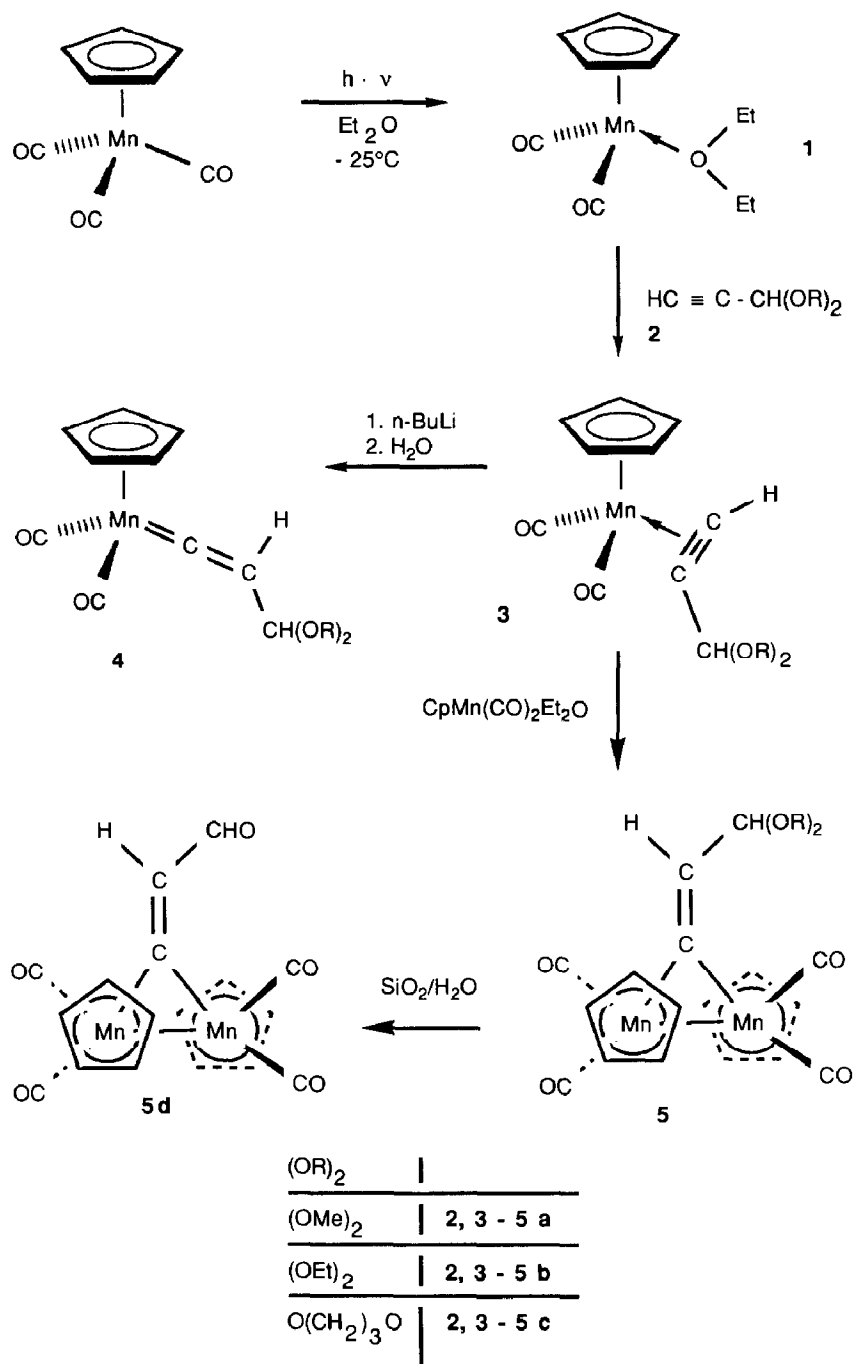
Resultate und Diskussion

Die Umsetzung von photochemisch erzeugtem Dicarbonylcyclopentadienylethermangan mit den Propiolaldehyddialkoxyacetalen **2** führt nach Schema 1 primär zu den Acetylensubstitutionsprodukten **3**.

Der Aufbau dieser gelben bis orangen Verbindungen lässt sich eindeutig aus den spektroskopischen Daten ableiten. Von **3c** wurde darüberhinaus eine Röntgenstrukturanalyse durchgeführt. Die IR-Spektren von **3a–c** sind im Bereich von 2000–1800 cm^{−1} durch drei Banden charakterisiert, wobei zwei den zu erwartenden $\nu(\text{C}\equiv\text{O})$ -Schwingungen und die langwelligste jeweils der $\nu(\text{C}\equiv\text{C})$ -Schwingung zugeordnet werden (vgl. Tab. 1).

Auch ¹H- und ¹³C-NMR-Spektren stehen im Einklang mit dem nach Schema 1 gegebenen Strukturvorschlag. Die durch eine schwache ⁴J-Kopplung aufgespaltenen Resonanzen der acetylenischen Protonen von **3** findet man erwartungsgemäß zwischen 4.7 und 5 ppm, klar unterscheidbar von dem Absorptionsbereich um 6 ppm der Vinylidenwasserstoffatome in den isomeren Komplexen **4a–c**. Die Koordination der Acetyleneinheit an das Manganzentrum geht im ¹³C-NMR-Spektrum nicht nur aus einer starken Verschiebung der metallgebundenen Kohlenstoffatome relativ zum freien Liganden hervor, sondern lässt sich auch aus einer Entschirmung der jeweiligen Methinkohlenstoffatome ableiten (vgl. Tab. 2).

Im Reaktionsgemisch nach Schema 1 lagern sich die Verbindungen **3** offensichtlich spontan in die Vinylidenkomplexe **4** um, wobei diese unter den gegebenen Reaktionsbedingungen in Gegenwart von CpMn(CO)₂ Et₂O-Komplex zu den roten dinuklearen Vinyliden-verbrückten Verbindungen **5** abreagieren. Der Reaktionsschnitt von **3** nach **4** wurde bereits an einer ganzen Reihe von terminalen Acetylenverbindungen mit CpMn(CO)₂-Fragmenten beobachtet [3–5], und sollte nach quantenmechanischen Berechnungen kinetisch behindert [6], aber thermodynamisch stark bevorzugt sein [7,6]. Die Darstellung der Vinylidenkomplexe **4a–c** aus den Verbindungen **3a–c** gelang auch unabhängig durch sukzessive Deprotonierung und Protonierung mit Butyllithium bzw. Wasser. **4a–c** wurden als rote kristalline Verbindungen isoliert. Sie sind IR-spektroskopisch durch zwei im Vergleich zu den Verbindungen **3** kurzwellig verschobenen $\nu(\text{C}\equiv\text{O})$ -Banden charakterisiert. Außerdem findet man eine typische (C=C) Absorption um 1650 cm^{−1}.



Schema 1

Strukturbestimmungen der Verbindungen 3c, 5c, 5d [8]

Geeignete Kristalle für eine Röntgenstrukturuntersuchung wurden von **3c** und **5c** durch langsames Abkühlen von Lösungen in Pentan bzw. für **5d** CH_2Cl_2 /Pentan (1/1) auf -80°C erhalten. **5d** kristallisiert als Methylenchloridsolvat der Zusam-

Tabelle 1

IR-, ¹H-NMR-Daten der Verbindungen 3-5

Verbindung	IR (cm^{-1}) $\nu(\text{CO})$, $\nu(\text{CC})$ (Intensität) n-Hexan	¹ H-NMR δ (ppm) Multiplizität $J(\text{H}-\text{H})$ (Hz), Lösungsmittel (Gruppierung)
3a	1982st	5.40br(HC)
	1919st	5.05br(HC≡C)
	1858st	4.51s(Cp)
		3.13s(CH_3) Benzol- d_6
3b	1983st	5.73d(1)(HC)
	1920st	4.94d(1)(HC≡C)
	1866s	4.65s Cp 3.63d,9(1,7)(CH_2CH_3) 1.28t(7)(CH_2CH_3) CDCl_3
3c	1983st	5.70d(1)(HC)
	1920st	4.75d(1)(HC≡C)
	1864s	4.26s Cp 3.83–3.79m($\text{CH}_2\text{CH}_2\text{CH}_2$) 3.43–3.38m($\text{CH}_2\text{CH}_2\text{CH}_2$) 1.93–1.67m($\text{CH}_2\text{CH}_2\text{CH}_2$) Benzol- d_6
4a	2009st	5.75d(6)C=CH
	1953st	5.26d(6)CH
	1657m	4.33s Cp 3.25s CH_3 Benzol- d_6
4b	2010m	6.52d(7)C=CH
	1954st	5.61d(7)HC
	1666s	4.90s Cp 4.12m CH_2CH_3 1.23(7) CH_2CH_3
4c	2007st	6.08s C=CH
	2052st	5.43s CH
	1662s	4.33s Cp 3.80m $\text{CH}_2\text{CH}_2\text{CH}$ 3.40m $\text{CH}_2\text{CH}_2\text{CH}$ 1.76m $\text{CH}_2\text{CH}_2\text{CH}_2$ Benzol- d_6
5a	2028s	7.10d(7)C=CH
	2003m	5.40d(7)HC
	1969st	4.71s Cp
	1942st	4.62s Cp 3.40s CH_3 CDCl_3

fortgesetzt

Tabelle 1 (Fortsetzung)

Verbindung	IR (cm^{-1}) $\nu(\text{CO})$, $\nu(\text{CC})$ (Intensität) n-Hexan	$^1\text{H-NMR}$ δ (ppm) Multiplizität $J(\text{H}-\text{H})$ (Hz), Lösungsmittel (Gruppierung)
5b	2022s 1993m 1661st 1937st 1932m 1605m	7.15d(7)C=CH 5.36d(7)CH 4.73s Cp 4.63s Cp 4.22m CH_2CH_3 3.95m CH_2CH_3 CDCl_3
5c	1985s 1957st 1930st 1606s	7.14d(7)CH=C 5.37d(7)CH 4.73s Cp 4.64s Cp 4.2–3.8m $\text{CH}_2\text{CH}_2\text{CH}_2$ 1.46–1.36m $\text{CH}_2\text{CH}_2\text{CH}_2$ CDCl_3
5d	2016m 1985m 1953st 1927st 1889m	9.90d(7)CHO 8.05d(7)CH=C 4.03s Cp 3.93s Cp Benzol- d_6

mensetzung $\text{C}_{17}\text{H}_{12}\text{O}_5\text{Mn} \cdot \text{CH}_2\text{Cl}_2$. In den folgenden Diskussionen sowie im Fig. 2 wird ausschliesslich der metallorganische Komplex berücksichtigt.

Die Kristall- und Molekülstrukturen von **3c**, **5c** und **5d** konnten auf einem Syntex-P3-Diffraktometer [9] ermittelt werden. Die Kristallparameter und die Messbedingungen sind in Tab. 3 wiedergegeben.

Die Atomkoordinaten und äquivalenten isotropen Temperaturfaktoren von **3c**, **5c** und **5d** können jeweils den Tabellen 4, 6 und 7 entnommen werden.

Kristalle von **3c** wurden einer Röntgenstrukturanalyse unterzogen, weil Cymantrenacetylen-Komplexe bislang nur selten strukturell charakterisiert wurden [1,10]. Die engere Koordination um das Manganzentrum von **3c** ist annähernd tetraedrisch, wobei der Cyclopentadienyl- und der Acetylenligand jeweils eine Position einnehmen. Die Bindungswinkel und -abstände des $\text{CpMn}(\text{CO})_2$ -Fragments findet man in guter Übereinstimmung mit den Parametern, die an

Tabelle 2

$^{13}\text{C}\{-^1\text{H}\}$ -NMR-Daten der Verbindung **3** in Aceton- d_6 (-30°C)

Verb.	CO	δ (ppm) CH	Gruppierung Cp	H-C≡C	HC≡C	OR
3a	234.91	102.26	86.38	74.93	59.75	52.97 CH_3
3b	232.95	98.80	85.21	72.84	60.63	59.84 CH_2CH_3 14.43 CH_2CH_3
3c	233.60	98.74	86.12	75.35	66.67	59.84 $\text{CH}_2\text{CH}_2\text{CH}_3$ 26.27 $\text{CH}_2\text{CH}_2\text{CH}_3$

Tabelle 3

Mess-, Kristall- und Verfeinerungsdaten der Verbindungen **3c**, **5c** und **5d**

	3c	5c	5d
Formel	$C_{13}H_{13}O_4Mn$	$C_{20}H_{18}O_{16}Mn$	$[C_{17}H_{12}O_5Mn_2] \cdot CH_2Cl_2$
Kristallsystem	monoklin	monoklin	triklin
Raumgruppe	$P2_1/c$	$P2_1/c$	$P\bar{1}$
a (Å)	12.929(6)	8.086(1)	8.568(2)
b (Å)	7.937(2)	12.343(2)	8.889(2)
c (Å)	12.211(5)	19.716(3)	12.636(4)
α (°)			88.15(2)
β (°)	101.88(3)	99.20(1)	85.83(2)
γ (°)			77.15(2)
V (Å ³)	1226.5(9)	1942.8(6)	935.7(5)
Z	4	4	2
ρ (calc) (g cm ⁻³)	1.56	1.59	1.74
Temp. (°C)	-50	-31	-30
Kristallab-			
messung (mm)	0.2 · 0.3 · 0.2	0.25 · 0.25 · 0.15	0.3 · 0.3 · 0.2
Strahlung	$Mo-K_\alpha$, $\lambda = 71.069$ pm, Graphit-Monochromator		
Absorp.			
Koeff. (cm ⁻¹)	10.4	12.8	16.1
Scan-Geschwin-			
digkeit (° min ⁻¹)	2.0 ≤ ω ≤ 20.0	2.2 ≤ ω ≤ 29.3	2.0 ≤ ω ≤ 29.3
2θ-Scan			
Bereich (°)	4.0 ≤ 2θ ≤ 50.0	4.0 ≤ 2θ ≤ 52.0	4.0 ≤ 2θ ≤ 52.0
Scan-Technik	ω-scan	ω-scan	ω-scan
$\Delta\omega$ (°) 1	1	1	1
Gesammelte Reflexe	2439	4265	3935
Gesammelte			
Refl. m. $I > 1.5\sigma$	1982	3025	3288
LS-Parameter	163	253	244
Lösung			
(SHELXTL)	Patterson	Patterson	Patterson
R_F	0.033	0.0050	0.074
R_{F^2}	0.037	0.057	0.081

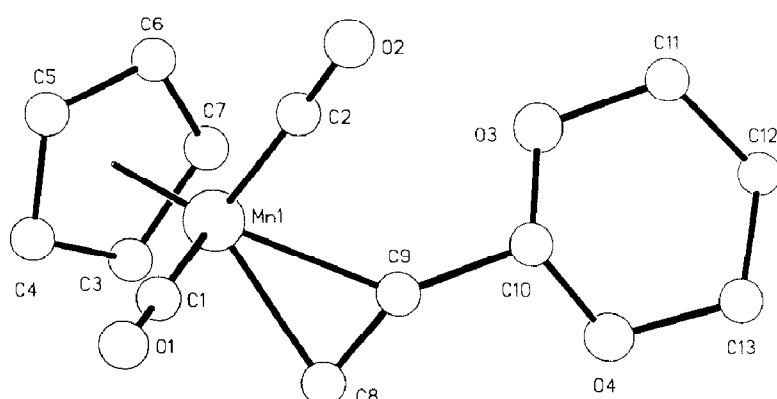
Fig. 1. Strukturmodell der Verbindung **3c**.

Tabelle 4

Lageparameter und Temperaturfaktoren (10^3 \AA^2) der Verbindung **3c**. Die Atomkennzeichnung folgt der Festlegung in Fig. 1

Atom	x/a	y/b	z/c	U
Mn1	0.1780(1)	0.7088(1)	0.7020(1)	24(1) *
C1	0.1376(2)	0.5319(3)	0.6134(2)	30(1) *
O1	0.1114(2)	0.4151(3)	0.5591(2)	45(1) *
C2	0.2163(2)	0.5619(4)	0.8137(2)	34(1) *
O2	0.2375(2)	0.4679(3)	0.8862(2)	55(1) *
C3	0.1355(2)	0.9650(3)	0.6483(2)	35(1) *
C4	0.0460(2)	0.8600(4)	0.6242(3)	40(1) *
C5	0.0287(2)	0.7939(4)	0.7268(3)	47(1) *
C6	0.1082(3)	0.8584(4)	0.8133(3)	47(1) *
C7	0.1742(2)	0.9633(4)	0.7657(2)	39(1) *
C8	0.3001(2)	0.7397(3)	0.6137(2)	30(1) *
C9	0.3421(2)	0.7261(3)	0.7130(2)	27(1) *
C10	0.4390(2)	0.7070(3)	0.8014(2)	25(1) *
O3	0.4274(1)	0.7910(3)	0.8999(1)	34(1) *
C11	0.5209(2)	0.7647(2)	0.9868(2)	37(1) *
C12	0.6178(2)	0.8233(3)	0.9487(2)	34(1) *
C13	0.6220(2)	0.7422(2)	0.8376(2)	41(1) *
O4	0.5238(1)	0.7715(3)	0.7593(1)	34(1) *
H6	0.1115	0.8389	0.8966	80

Atom	U_{11}	U_{22}	U_{33}	U_{23}	U_{13}	U_{12}
Mn1	24(1)	24(1)	23(1)	0(1)	4(1)	1(1)
C1	27(1)	33(1)	29(1)	3(1)	2(1)	2(1)
O1	46(1)	38(1)	48(1)	-14(1)	1(1)	-6(1)
C2	34(1)	36(2)	32(1)	-0(1)	6(1)	-0(1)
O2	70(1)	51(1)	42(1)	22(1)	6(1)	8(1)
C3	35(1)	26(1)	45(2)	3(1)	8(1)	8(1)
C4	29(1)	35(1)	52(2)	-2(1)	-2(1)	10(1)
C5	30(1)	36(2)	80(2)	2(2)	25(1)	5(1)
C6	56(2)	49(2)	42(2)	-1(1)	26(1)	18(2)
C7	39(2)	31(1)	46(2)	-12(1)	6(1)	5(1)
C8	26(1)	34(1)	30(1)	0(1)	8(1)	2(1)
C9	24(1)	25(1)	32(1)	-1(1)	9(1)	1(1)
C10	26(1)	24(1)	25(1)	-0(1)	5(1)	0(1)
O3	29(1)	51(1)	22(1)	-5(1)	5(1)	1(1)
C11	37(1)	46(2)	26(1)	3(1)	-0(1)	-6(1)
C12	31(1)	32(1)	35(1)	4(1)	-3(1)	-3(1)
C13	24(1)	57(2)	42(2)	0(1)	5(1)	2(1)
O4	26(1)	50(1)	26(1)	2(1)	7(1)	-1(1)

$\text{CpMn}(\text{CO})_2\text{L}$ -Systemen bisher bestimmt wurden [1]. Die Strukturmerkmale und die Orientierung (C_8C_9 parallel zum Cp-Ring vgl. Tab. 4) des Acetylenystems sind im Einklang mit den theoretischen Ableitungen [11]. Die Aufweitung des $\text{C}\equiv\text{C}$ -Abstandes und die Abwinkelung des acetylenischen Substituenten liegt im Vergleich zu freien Acetylenen in einem Größenbereich, der für eine schwache bis mittlere π -Rückbindung vom Metall zum π -Akzeptor-Ligand erwartet wird [11] (siehe Tab. 4).

Einen interessanten Einblick in die Bindungsverhältnisse dinuklearer $\text{Cp}_2\text{Mn}_2(\text{CO})_4\text{L}$ -Verbindungen (L = carbenoider Ligand) gestatten die Strukturbestimmun-

Tabelle 5

Bindungslängen (Å) und Bindungswinkel (°) der Verbindung **3c** (Atomkennzeichnung vgl. Fig. 1)^a

Mn1-C1	1.784(3)	C1-Mn1-C2	87.1(1)
Mn1-C2	1.786(3)	C1-Mn1-C8	86.4(1)
Mn1-C3	2.172(3)	C2-Mn1-C8	110.4(1)
Mn1-C4	2.142(3)	C1-Mn1-C9	104.8(1)
Mn1-C5	2.124(3)	C2-Mn1-C9	82.9(1)
Mn1-C6	2.139(3)	C8-Mn1-C9	33.9(1)
Mn1-C7	2.168(3)	Mn1-C1-O1	177.9(2)
Mn1-C8	2.101(3)	Mn1-C2-O2	177.7(3)
Mn-C9	2.103(2)	Mn1-C8-C9	73.1(2)
C8-C9	1.227(3)	Mn1-C8-H8	132.2(2)
C8-H8	1.025(3)	C9-C8-H8	154.4(3)
C9-C10	1.484(3)	Mn1-C9-C8	73.0(2)
C10-O3	1.410(3)	Mn1-C9-C10	136.8(2)
C10-O4	1.400(3)	C8-C9-C10	149.8(3)
A-1Mn	1.783	Mn1-A-C1	125.6
		Mn1-A-C2	121.6
		Mn1-A-C8	117.6
		Mn1-A-C9	122.4

^a A = Schwerpunkt des Cp-Ringes.

gen von **5c** und **5d**. Der Aufbau dieser chemisch sehr verwandten Verbindungen entspricht dem zweier annähernd transoid verknüpfter $\text{CpMn}(\text{CO})_2$ -Einheiten, die durch die Vinylideneinheit überbrückend zusammengehalten werden (vgl. Fig. 2).

Man findet in **5c** und **5d** die beiden $\text{CpMn}(\text{CO})_2$ -Fragmente nicht exakt transoid angeordnet, sondern mit einem Verdrillungswinkel von 8.5 bzw. 5.3° bezüglich der jeweiligen Mn1Mn2-Achse.

Die $\text{CpMn}(\text{CO})_2$ -Fragmente sind als offensichtlich strukturbestimmende Elemente in beiden Molekülen beinahe deckungsgleich (vgl. Tab. 8, 9).

Die Vinylidenreste in **5c** und **5d** sind mit vergleichbaren Abständen an die Manganatome gebunden. Ebenso übereinstimmend sind die Bindungsabstände $\text{C}_{15}\text{C}_{16}$ (**5c**) bzw. $\text{C}_{15}\text{C}_{16}$ (**5d**) und der $\text{C}=\text{C}_{\text{Vinyliden}}$ -Abstand in einem $\text{Cp}_2\text{Mn}_2(\text{CO})_4=\text{C}=\text{CH}_2$ -Komplexe [5a]. Die "Vinylidenebene" jeweils $\text{C}_{17}\text{C}_{16}\text{H}$ repräsentiert durch $\text{C}_{17}\text{C}_{16}\text{C}_{15}$ ist in **5c** und **5d** signifikant verdrillt gegenüber der jeweiligen Mn1Mn2C₁₅-Ebene (3.5 bzw. 6.3°), und ist Ausdruck eines Jahn-Teller-Effektes 2. Ordnung. Solche Verzerrungen wurden typischerweise an $\text{Cp}_2\text{Mn}_2(\text{CO})_4$ (Carben)-Komplexen gefunden [12].

Experimenteller Teil

Die im folgenden beschriebenen Arbeiten wurden unter Schutzgasatmosphäre durchgeführt. Die verwendeten Lösungsmittel waren absolutiert. Lösungsmittel für die Säulenchromatographie wurden ohne vorherige Behandlung eingesetzt. Die chromatographischen Trennungen erfolgten auf Säulen mit einem Durchmesser von ca. 3 cm und einer Füllhöhe von 20–25 cm bei ca. –20 °C. Als stationäre Phase wurde Kieselgel 60 der Firma Merck verwandt. Der verwendete Petrolether siedete im Bereich von 40–60 °C.

Bestrahlungen wurden entweder mit einer Philips-HPK-125-Quecksilber-hochdrucklampe oder mit einer Hanau-Quecksilberhochdrucktauchlampe-TQ 718

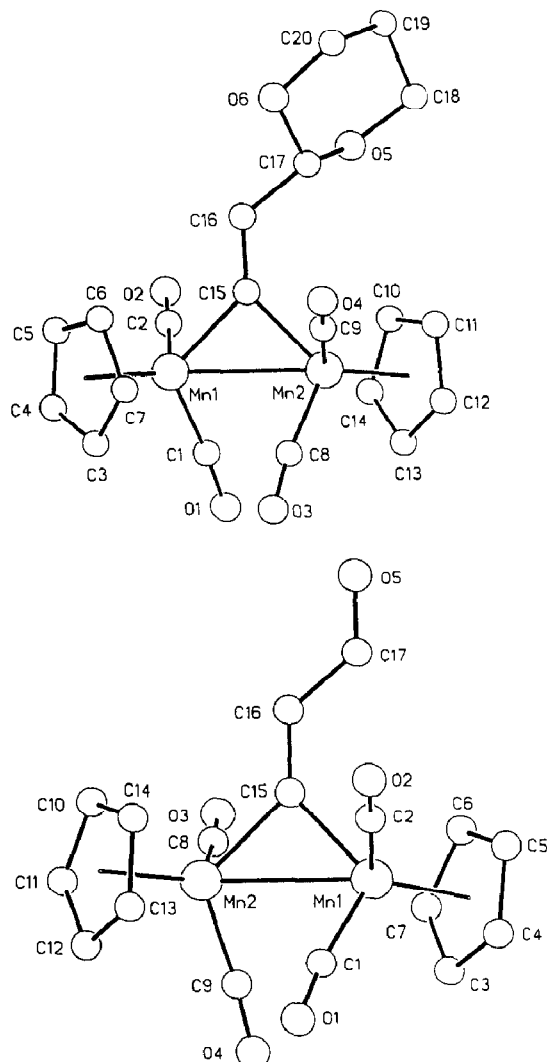


Fig. 2. Strukturmodelle der Verbindungen **5c** (oben) und **5d** (unten).

durchgeföhrt. $\text{CpMn}(\text{CO})_3$ wurde nach Lit. 13 erhalten. Die Propargylaldehyd-dialkoxyacetal-Verbindungen wurden analog der Lit. 14 dargestellt. Für $(\text{OR})_2 = \text{OCH}_2\text{CH}_2\text{CH}_2\text{O}$ wurden 1,2-Dibrompropargylaldehyd und 1,3-Dipropanol/p-Toluolsulfinsäure in einer Kondensationsreaktion miteinander umgesetzt und anschliessend mit KOH zweimal HBr abgespalten. Die Verbindungen **2a–c** wurden IR-, ^1H - und ^{13}C -NMR-spektroskopisch charakterisiert.

Die spektroskopischen Daten wurden auf folgenden Geräten ermittelt. IR-Spektren: Mattson Polaris FT-IR-Spektrometer. ^1H -NMR-Spektren: JEOL FX 90Q; Bruker WM 250; JEOL JNM-GX 400 FT. ^{13}C -NMR-Spektren: Varian MAT 112; Finnigan MAT 112 S/312.

1. Allgemeine Vorschrift zur Darstellung von Dicarbonylcyclopentadienyl- η^2 -(propargylaldehyd-dialkoxyacetal)mangan ($R = \text{Me}$, **3a; $R = \text{Et}$, **3b**; $(\text{OR})_2 = \text{O}(\text{CH}_2)_3\text{O}$, **3c**); Bis[dicarbonylcyclopentadienylmangan]dialkoxymethylvinyliden ($R = \text{Me}$, **5a**; R**

Tabelle 6

Atomkoordinaten und Temperaturfaktoren (10^3 \AA^2) des Komplexes **5c**. Die Atomkennzeichnung richtet sich nach dem Strukturmodell in Fig. 2 (oben)

Atom	x/a	y/b	z/c	U
Mn1	0.1584(1)	0.5658(1)	0.7198(1)	32(1) *
C1	0.3069(5)	0.4614(4)	0.7103(2)	46(1) *
O1	0.3998(5)	0.3912(3)	0.7074(2)	72(1) *
C2	0.0016(5)	0.4839(3)	0.6703(2)	41(1) *
O2	-0.1016(4)	0.4313(3)	0.6397(2)	56(1) *
C3	0.2704(6)	0.5826(5)	0.8249(2)	65(2) *
C4	0.1240(7)	0.5238(4)	0.8207(2)	60(2) *
C5	-0.0082(6)	0.5890(5)	0.7916(2)	63(2) *
C6	0.0567(7)	0.6900(4)	0.7779(2)	66(2) *
C7	0.2320(7)	0.6875(4)	0.7986(3)	68(2) *
Mn2	0.3235(1)	0.6563(1)	0.6222(1)	31(1) *
C8	0.4804(5)	0.6523(4)	0.6980(2)	46(1) *
O3	0.5917(4)	0.6521(3)	0.7428(2)	69(1) *
C9	0.3084(5)	0.7969(4)	0.6372(2)	47(1) *
O4	0.3009(5)	0.8888(3)	0.6468(2)	79(2) *
C10	0.2197(5)	0.5883(4)	0.5226(2)	49(2) *
C11	0.3196(6)	0.6796(4)	0.5152(2)	51(2) *
C12	0.4842(5)	0.6580(4)	0.5474(2)	54(2) *
C13	0.4868(5)	0.5535(4)	0.5748(2)	54(2) *
C14	0.3240(6)	0.5106(4)	0.5596(2)	53(2) *
C15	0.0919(4)	0.6608(3)	0.6389(2)	29(1) *
C16	-0.0535(4)	0.7040(3)	0.6107(2)	33(1) *
C17	-0.0794(5)	0.7789(3)	0.5501(2)	34(1) *
O5	-0.1203(4)	0.7178(2)	0.4895(1)	45(1) *
C18	-0.1434(7)	0.7873(4)	0.4301(2)	54(2) *
C19	-0.2832(6)	0.8660(4)	0.4351(2)	57(2) *
C20	-0.2453(6)	0.9252(4)	0.5026(2)	52(2) *
O6	-0.2118(3)	0.8495(2)	0.5587(1)	42(1) *
H16	-0.1536	0.6911	0.6330	80
H17	0.0278	0.8226	0.5441	80

Atom	U_{11}	U_{22}	U_{33}	U_{23}	U_{13}	U_{12}
Mn1	38(1)	32(1)	24(1)	2(1)	-0(1)	3(1)
C1	51(2)	42(2)	44(2)	1(2)	-2(2)	5(2)
O1	79(3)	52(2)	80(3)	1(2)	4(2)	32(2)
C2	52(2)	36(2)	35(2)	12(2)	6(2)	3(2)
O2	66(2)	47(2)	49(2)	4(1)	-8(1)	-19(2)
C3	62(3)	96(4)	31(2)	-14(3)	-13(2)	16(3)
C4	92(4)	59(3)	29(2)	8(2)	8(2)	1(3)
C5	62(3)	95(4)	32(2)	-7(2)	10(2)	6(3)
C6	104(4)	68(3)	25(2)	-5(2)	8(2)	43(3)
C7	97(4)	65(3)	45(3)	-29(2)	21(3)	-23(3)
Mn2	28(1)	31(1)	34(1)	-4(1)	3(1)	-5(1)
C8	38(2)	40(2)	57(3)	-9(2)	-1(2)	1(2)
O3	48(2)	75(2)	72(2)	-14(2)	-24(2)	6(2)
C9	45(2)	38(2)	52(3)	-3(2)	-7(2)	-9(2)
O4	91(3)	30(2)	103(3)	-3(2)	-24(2)	-4(2)
C10	47(2)	65(3)	37(2)	-18(2)	12(2)	-11(2)
C11	52(3)	64(3)	40(2)	-2(2)	14(2)	-1(2)
C12	43(2)	73(3)	48(2)	-2(2)	17(2)	-11(2)
C13	45(2)	68(3)	51(3)	-12(2)	14(2)	11(2)

fortgesetzt

Tabelle 6 (Fortsetzung)

Atom	U_{11}	U_{22}	U_{33}	U_{23}	U_{13}	U_{12}
C14	69(3)	45(3)	50(3)	-17(2)	26(2)	-4(2)
C15	37(2)	27(2)	23(2)	-2(1)	6(1)	-2(2)
C16	34(2)	36(2)	28(2)	4(2)	3(1)	-1(2)
C17	34(2)	34(2)	32(2)	6(2)	0(2)	-2(2)
O5	74(2)	34(2)	26(1)	7(1)	3(1)	-4(1)
C18	88(4)	44(3)	29(2)	8(2)	4(2)	-9(2)
C19	59(3)	56(3)	48(3)	25(2)	-16(2)	-12(2)
C20	57(3)	39(2)	56(3)	15(2)	-7(2)	5(2)
O6	44(2)	39(2)	49(1)	3(1)	-5(1)	7(1)

= Et, **5b**; (*OR*)₂=O(CH₂)₃O, **5c**) und Bis[dicarbonylcyclopentadienylmangan]-2-carbaldehydvinyliden (**5d**)

2 g (9.8 mmol) Tricarbonylcyclopentadienylmangan werden in Ether bei -25 °C etwa 4 h lang in einer Umlaufapparatur bestrahlt. Zu der entstandenen roten Lösung des CpMn(CO)₂Et₂O-Komplexes gibt man jeweils 10 mmol der Liganden **2a–c** (1 g **2a**, 1.24 g **2b**, 1.12 g **2c**, setzt man einen Unterschuss an Ligand ein, kann die Ausbeute an den dinuklearen Verbindungen **5a–c** und **5d** erhöht werden) und lässt die Reaktionslösung unter Rühren auf Raumtemperatur erwärmen. Nach weiteren 2 h wird von unlöslichen Bestandteilen über Kieselgur abfiltriert und das Filtrat im Hochvakuum bis zur Trockne eingedampft. Der Rückstand wird mit Petrolether extrahiert und der Petroletherextrakt an Kieselgel chromatographiert. Mit Petrolether wird zunächst unumgesetztes CpMn(CO)₃ eluiert, bevor eine gelbe bis orange Zone mit einem Lösungsmittelgemisch aus Petrolether/Ether (24/1) erhalten wird. Nach Abziehen des Lösungsmittels und Umkristallisieren aus Pentan bei -80 °C erhält man die orangegelben bis goldgelben Verbindungen **3**. Mit einem polareren Gemisch aus Ether und Petrolether (1/1) kann eine weitere rote Zone isoliert werden. Ist das Lösungsmittel vollständig im Hochvakuum entfernt, wird mit Pentan extrahiert. Nach Umkristallisieren des Pentanextraktes bei -80 °C erhält man die kristallinen roten dinuklearen Produkte **5a–c**. Der pentanunlösliche Rückstand der roten Zone wird aus CH₂Cl₂/Pantan umkristallisiert (-80 °C). Man erhält den dunkelroten Komplex **5d**.

3a (Öl): Ausbeute: 0.95 g = 35%.

3b: Ausbeute: 0.93 g = 32%. Analyse: Gef.: C, 55.45; H, 5.62; C₁₄H₁₇MnO₄ (304.22) ber.: C, 55.27; H, 5.63%.

3c: Ausbeute: 1.23 g = 43%. Analyse: Gef.: C, 53.76; H, 4.63, C₁₃H₁₃MnO₄ (288.18) ber.: C, 54.18; H, 4.54%. MS: $m/e = 288$ [M]⁺; 260 [M - CO]⁺; 232 [M - 2CO]⁺.

5a: Ausbeute: 0.15 g = 7% (bezogen auf CpMn(CO)₃).

5b: Ausbeute: 0.19 g = 11% (bezogen auf CpMn(CO)₃). Analyse: Gef.: C, 51.90; H, 4.53, C₂₂H₂₁Mn₂O₄ (480.23) ber.: C, 52.51; H, 4.61%.

5c: Ausbeute: 0.21 g = 9% (bezogen auf CpMn(CO)₃). Analyse: Gef.: C, 52.02; H, 3.94. C₂₀H₁₈Mn₂O₆ (464.33) ber.: C, 51.74; H, 3.90%. MS: $m/e = 408$ [M - 2CO]⁺; 332 [M - 2CO, HOCH₂CH₂CH₂OH]⁺.

5d: Ausbeute: 0.15–0.2 g = 7–10% (bezogen auf CpMn(CO)₃). MS: $m/e = 406$ [M]⁺; 350 [M - 2CO]⁺; 294 [M - 3CO]⁺; 265 [M - 3CO, C=CHCHO]⁺.

Tabelle 7

Lageparameter und Temperaturfaktoren (10^3 \AA^2) der Verbindung **5d**. Die Bezeichnung der Atome entspricht Fig. 2 (unten)

Atom	x/a	y/b	z/c	U
Mn1	0.2985(1)	0.3270(1)	0.1676(1)	22(1) *
C1	0.2113(5)	0.2625(4)	0.0569(3)	31(1) *
O1	0.1621(4)	0.2321(4)	-0.0201(2)	46(1) *
C2	0.4820(5)	0.2036(5)	0.1212(3)	30(1) *
O2	0.6012(4)	0.1246(4)	0.0911(3)	51(1) *
C3	0.1542(6)	0.5560(4)	0.1442(4)	44(2) *
C4	0.3107(7)	0.5467(5)	0.0987(4)	43(2) *
C5	0.4165(6)	0.5124(5)	0.1815(4)	40(2) *
C6	0.3245(6)	0.5008(4)	0.2768(4)	38(2) *
C7	0.1623(6)	0.5281(4)	0.2545(4)	41(2) *
Mn2	0.1171(1)	0.1305(1)	0.2576(1)	22(1) *
C8	0.0640(5)	0.2086(4)	0.3868(3)	29(1) *
O3	0.0329(4)	0.2533(4)	0.4716(2)	44(1) *
C9	-0.0397(5)	0.2816(4)	0.2053(3)	29(1) *
O4	-0.1448(4)	0.3671(4)	0.1712(3)	44(1) *
C10	0.1720(6)	-0.0995(4)	0.3195(4)	40(2) *
C11	0.0080(6)	-0.0591(5)	0.2985(4)	38(1) *
C12	-0.0007(6)	-0.0300(5)	0.1883(4)	39(2) *
C13	0.1557(7)	-0.0520(5)	0.1411(4)	43(2) *
C14	0.2630(5)	-0.0948(4)	0.2231(4)	43(2) *
C15	0.3195(4)	0.1815(4)	0.2868(3)	21(1) *
C16	0.4245(5)	0.1300(4)	0.3612(3)	25(1) *
C17	0.5780(5)	0.1678(4)	0.3664(3)	30(1) *
O5	0.6715(4)	0.1226(4)	0.4359(3)	43(1) *
C11	-0.3001(2)	-0.2533(1)	0.2514(1)	43(1) *
C12	-0.2961(2)	-0.4778(2)	0.4239(1)	60(1) *
C18	-0.3557(7)	-0.2834(6)	0.3847(4)	52(2) *
H16	0.3963	0.0650	0.4211	50
H17	0.6138	0.2346	0.3074	50

Atom	U_{11}	U_{22}	U_{33}	U_{23}	U_{13}	U_{12}
Mn1	25(1)	17(1)	23(1)	2(1)	-4(1)	-4(1)
C1	37(2)	24(2)	29(2)	3(2)	-5(2)	-2(2)
O1	64(2)	42(2)	34(2)	-0(1)	-21(2)	-10(2)
C2	31(2)	32(2)	28(2)	1(2)	-1(2)	-7(2)
O2	37(2)	52(2)	53(2)	-3(2)	12(2)	7(2)
C3	47(3)	15(2)	68(3)	5(2)	-23(3)	2(2)
C4	67(3)	24(2)	39(2)	13(2)	-2(2)	-15(2)
C5	38(2)	22(2)	65(3)	-5(2)	-3(2)	-14(2)
C6	61(3)	18(2)	37(2)	-1(2)	-16(2)	-11(2)
C7	48(3)	16(2)	58(3)	-8(2)	12(2)	-6(2)
Mn2	21(1)	17(1)	26(1)	-1(1)	-3(1)	-4(1)
C8	27(2)	26(2)	34(2)	3(2)	-3(2)	-6(2)
O3	49(2)	52(2)	30(2)	-7(1)	2(1)	-7(2)
C9	29(2)	25(2)	34(2)	-7(2)	-4(2)	-4(2)
O4	33(2)	34(2)	62(2)	-0(2)	-15(2)	5(1)
C10	55(3)	19(2)	49(3)	6(2)	-21(2)	-12(2)
C11	43(3)	27(2)	48(3)	-2(2)	3(2)	-19(2)
C12	43(3)	24(2)	55(3)	-3(2)	-21(2)	-11(2)
C13	70(3)	24(2)	39(2)	-10(2)	3(2)	-18(2)
C14	30(2)	16(2)	82(4)	-14(2)	1(2)	-3(2)

fortgesetzt

Tabelle 7 (Fortsetzung)

Atom	U_{11}	U_{22}	U_{33}	U_{23}	U_{13}	U_{12}
C15	25(2)	14(2)	24(2)	1(1)	1(2)	-5(1)
C16	31(2)	18(2)	25(2)	2(1)	-2(2)	-5(2)
C17	30(2)	28(2)	30(2)	1(2)	-6(2)	-5(2)
O5	33(2)	54(2)	43(2)	9(2)	-16(1)	-11(2)
C11	41(1)	42(1)	49(1)	-4(1)	-1(1)	-14(1)
C12	78(1)	51(1)	46(1)	1(1)	-1(1)	-5(1)
C18	56(3)	48(3)	45(3)	-11(2)	-3(3)	3(3)

2. Darstellung von Dicarbonylcyclopentadienyl(dialkoxymethylvinyliden)mangan ($R = Me$, **4a**; $R = Et$, **4b**; $(OR)_2 = O(CH_2)_3O$, **4c**)

1 g (2.65 mmol **3a**, 2.5 mmol **3b**, 2.57 mmol **3c**) des entsprechenden Acetylenkomplexes **3a–c** wird mit äquimolaren Mengen Butyllithium (ca. 1.5 molare Lösung in n-Hexan) bei $-78^\circ C$ in Pentan umgesetzt. Das Lithiumsalz der Komplexe **3** fällt aus. Unter Rühren wird auf etwa $-20^\circ C$ erwärmt und 1 ml Wasser zugegeben. Nun lässt man die Reaktionsmischung auf Raumtemperatur aufwärmen. Dabei löst

Tabelle 8

Bindungslängen (Å) und Bindungswinkel ($^\circ$) der Verbindung **5c**^a

Mn1–C1	1.791(5)	C1–Mn1–C2	88.0(2)
Mn1–C2	1.785(4)	C1–Mn1–Mn2	79.0(1)
Mn1–C3	2.134(4)	C2–Mn1–Mn2	103.3(1)
Mn1–C4	2.117(5)	C1–Mn1–C15	116.2(2)
Mn1–C5	2.123(5)	C2–Mn1–C15	79.5(2)
Mn1–C6	2.154(5)	Mn2–Mn1–C15	45.3(1)
Mn1–C7	2.175(5)	Mn1–C1–O1	176.0(4)
Mn1–Mn2	2.748(1)	Mn1–C2–O2	178.3(4)
Mn1–C15	1.983(3)	Mn1–Mn2–C8	76.4(1)
Mn2–C8	1.799(4)	Mn1–Mn2–C9	103.2(2)
Mn2–C9	1.768(4)	C8–Mn2–C9	87.0(2)
Mn2–C10	2.178(4)	Mn1–Mn2–C15	46.2(1)
Mn2–C11	2.126(4)	C8–Mn2–C15	115.4(2)
Mn2–C12	2.117(5)	C9–Mn2–C15	81.4(2)
Mn2–C13	2.150(5)	Mn2–C8–O3	173.7(4)
Mn2–C14	2.182(5)	Mn2–C9–O4	179.0(4)
Mn2–C15	1.954(4)	Mn1–C15–Mn2	88.5(1)
C15–C16	1.329(5)	Mn1–C15–C16	133.0(3)
C16–C17	1.498(5)	Mn2–C15–C16	138.4(3)
A–Mn1	1.781	C15–C16–C17	125.7(4)
A'–Mn2	1.789	Mn1–A–C1	120.8
		Mn1–A–C2	121.5
		Mn1–A–C15	118.9
		Mn2–A'–C8	119.7
		Mn2–A'–C9	124.6
		Mn2–A'–C15	118.8
		Mn1–Mn2–C15	
		C15–C16–C17	3.5
		A–Mn1–Mn2	
		A'–Mn1–Mn2	8.5

^a A = Schwerpunkt des Cp-Ringes an Mn1. A' = Schwerpunkt des Cp-Ringes an Mn2.

Tabelle 9

Bindungslängen (Å) und Bindungswinkel (°) des Komplexes **5d**^a

Mn1-C1	1.799(4)	C1-Mn1-C2	86.6(2)
Mn1-C2	1.778(4)	C1-Mn1-Mn2	75.8(1)
Mn1-C3	2.157(4)	C2-Mn1-Mn2	104.7(1)
Mn1-C4	2.133(4)	C1-Mn1-C15	113.2(2)
Mn1-C6	2.162(5)	C2-Mn1-C15	82.4(2)
Mn1-C7	2.186(4)	Mn2-Mn1-C15	45.1(1)
Mn1-Mn2	2.753(1)	Mn1-C1-O1	173.0(4)
Mn1-C15	1.945(4)	Mn1-C2-O2	179.6(4)
Mn2-C8	1.783(4)	Mn1-Mn2-C8	101.7(1)
Mn2-C9	1.820(2)	Mn1-Mn2-C9	79.7(1)
Mn2-C10	2.130(4)	C8-Mn2-C9	89.3(2)
Mn2-C11	2.135(5)	Mn1-Mn2-C15	45.0(1)
Mn2-C12	2.161(5)	C8-Mn2-C15	80.5(2)
Mn2-C13	2.180(5)	C9-Mn2-C15	118.5(2)
Mn2-C14	2.151(4)	Mn2-C8-O3	177.3(3)
Mn2-C15	1.949(4)	Mn2-C9-O4	174.3(4)
C15-C16	1.347(5)	Mn1-C15-Mn2	90.0(2)
C16-C17	1.435(6)	Mn1-C15-C16	137.8(3)
C17-O5	1.228(5)	Mn2-C15-C16	132.2(3)
A-Mn1	1.791	C15-C16-C17	125.7(4)
A'-Mn2	1.786	C16-C17-O5	125.2(4)
		Mn1-A-C1	120.5
		Mn1-A-C2	124.4
		Mn1-A-C15	119.6
		Mn2-A'-C8	120.6
		Mn2-A'-C9	119.6
		Mn2-A'-C15	117.5
		Mn1-Mn2-C15	
		C15-C16-C17	6.3
		Mn1-Mn2-A	
		Mn1-Mn2-A'	5.3

^a A = Schwerpunkt des Cp-Ringes an Mn1. A' = Schwerpunkt des Cp-Ringes an Mn2.

sich der Niederschlag wieder auf die anfangs gelbe bis orange Lösung färbt sich rot. Nach 1 h Rühren wird von entstandenem Lithiumhydroxid abfiltriert und die Pentanlösung an Kieselgel chromatographiert. Mit Petrolether/Ether (10/1) erhält man eine hellrote Zone der Vinylidenkomplexen, die aus Pentan bei -80 °C umkristallisiert werden.

4a: Ausbeute: 0.41 g = 41%.

4b: Ausbeute: 0.63 g = 63%.

4c: Ausbeute: 0.50 g = 50%. Analyse Gef.: C, 54.61; H, 4.81. C₁₃H₁₃MnO₄ (288.18) ber.: C, 54.18; H, 4.54%.

Literatur

1 K.G. Caulton, Coord. Chem. Rev., 38 (1981) 1.

2 (a) H.G. Alt, H.E. Engelhardt und E. Steinlein, J. Organomet. Chem., 344 (1988) 227; (b) H.G. Alt, H.E. Engelhardt, E. Steinlein und R.D. Rogers, J. Organomet. Chem., 344 (1988) 321; (c) H.G. Alt und H.E. Engelhardt, J. Organomet. Chem., 346 (1988) 211.

3 (a) H. Berke, Z. Naturforsch. B, 35 (1980) 86; (b) H. Berke, G. Huttner und J. v. Seyerl, J. Organomet. Chem., 218 (1981) 193.

- 4 M.I. Bruce and A.G. Swincer, *Adv. Organomet. Chem.*, 22 (1983) 59.
- 5 (a) K. Folting, J.C. Huffman, L.N. Lewis and K.G. Caulton, *Inorg. Chem.*, 18 (1979) 3483; (b) A.N. Nesmeyanov, G.G. Aleksandrov, A.B. Antonova, K.N. Anisimov, N.E. Kolobova und Yu.T. Struchkov, *J. Organomet. Chem.*, 110 (1976) C36.
- 6 J. Silvestre und R. Hoffmann, *Helv. Chim. Acta*, 68 (1985) 1461.
- 7 H.F. Schaefer III, *Acc. Chem. Res.*, 12 (1979) 288.
- 8 Weitere Einzelheiten zu den Kristalluntersuchungen können beim Fachinformationszentrum Energie Physik Mathematik, D-7514 Eggenstein-Leopoldshafen 2, unter Angabe der Hinterlegungsnummer CSD-53894, des Autors und des Zeitschriftenzitates angefordert werden.
- 9 SHEL-XTL: G.M. Sheldrick, *SHEL-XTL*, Revision 5, Göttingen 1985.
- 10 G.G. Cash und R.C. Pettersen, *J. Chem. Soc., Dalton Trans.*, (1979) 1630.
- 11 B.E.R. Schilling, R. Hoffmann und D.L. Lichtenberger, *J. Am. Chem. Soc.*, 101 (1979) 585.
- 12 W.A. Herrmann, *Adv. Organomet. Chem.*, 20 (1982) 159.
- 13 G. Brauer, *Handbuch der präparativen Anorganischen Chemie*, Bd. 3, S. 1866, Ferdinand Enke Verlag, Stuttgart, 1978.
- 14 (a) L. Claisen, *Chem. Ber.*, 31 (1898) 1010; *Chem. Ber.*, 31 (1898) 1021; *Chem. Ber.*, 36 (1903) 3664; *Chem. Ber.*, 40 (1907) 3907; (b) F. Reitzenstein und G. Bönnisch, *J. Prakt. Chem.*, 86 (1912) 1; (c) M. Grard, *Ann. Chim.*, 13 (1930), 336; (d) J.C. Sheehan und C.A. Robinson, *J. Am. Chem. Soc.*, 71 (1949) 1436; (e) O.H. Johnson und J.R. Holm, *J. Org. Chem.*, 23 (1958) 738; (f) J.P. Ward und D.A. van Dorp, *Rec. Trav. Chim. Pays-Bas*, 85 (1966) 117; (g) A. Gorgues und A. Le Coq, *Tetrahedr. Lett.*, 51 (1976) 4723; (h) A. Gorgues, A. Le Coq, G. Saucy und P.S. Manchand, *Org. Synth.*, 59 (1979) 10; (i) *Synthesis of Acetylenes, Allenes and Cumulenes Studies in Organic Chemistry* 8, S. 148, L. Brandsma und H.D. Verkruissse, Elsevier Scientific Publishing Company, Amsterdam, 1981; (j) M.M. Kreevoy, H.B. Charman und D.R. Vinard, *J. Am. Chem. Soc.*, 83 (1961) 1978.